

СПЕКТРОСКОПИЯ  
КОНДЕНСИРОВАННОГО СОСТОЯНИЯ

УДК 539.19

ВЛИЯНИЕ ПРИРОДЫ ЗАМЕСТИТЕЛЯ В ТРЕТЬЕМ И СЕДЬМОМ  
ПОЛОЖЕНИЯХ КУМАРИНОВ  
НА ИХ ФОТОФИЗИЧЕСКИЕ СВОЙСТВА

© 2007 г. Л. Г. Самсонова\*, Р. М. Гадиров\*, В. В. Ищенко\*\*, О. В. Хиля\*\*

\* Сибирский физико-технический институт при Томском государственном университете,  
634050 Томск, Россия

\*\* Киевский национальный университет им. Тараса Шевченко, 01033 Киев, Украина

Поступила в редакцию 08.09.2006 г.  
В окончательной редакции 22.12.2006 г.

Спектрально-люминесцентные и генерационные свойства производных 7-гидроксикумарина: 7-гидрокси-3-(4-метилтиазолил)-кумарин (КІ), 3-(4-метилтиазолил)-2-оксокумарин-фуран-2-карбоксилат (КІІ), 3-(4-(бензо[1,3]диоксолил)-тиазолил)-2-оксокумарин-фуран-2-карбоксилат (КІІІ) и 3-(4-(бензо[1,3]диоксолил)-тиазолил)-2-гидроксокумарин (КІІІ), а также их протолитических форм исследованы экспериментально и теоретически методом INDO/S. Показано, что квантовый выход флуоресценции соединений КІІІ и КІІІ, имеющих объемные заместители в третьем положении, сильно зависит от полярности растворителя. Высказано предположение, что в полярных растворителях в электронно-возбужденном состоянии эти заместители выходят из плоскости острова молекулы. Квантово-химические расчеты таких структур подтвердили их слабую флуоресцентную способность вследствие интенсивной интерконверсии. Исследована генерационная способность протолитических форм соединений. Обсуждена причина отсутствия генерации на нейтральных формах молекул.

PACS: 78.55.–me; 78.45.+h; 78.20.Bh

ВВЕДЕНИЕ

Кумариновые красители представляют обширный класс соединений как природного, так и искусственного происхождения, создаваемых путем введения заместителей в различные положения остова молекулы. Разнообразие вводимых заместителей дает возможность создавать соединения, сильно отличающиеся по своим спектральным и излучательным свойствам и, как следствие, возможностью их использования в различных областях. Так, аминокумарины широко используются в качестве лазерно-активных сред в лазерах на красителях на сине-зеленую область [1–5], поскольку квантовый выход флуоресценции этих соединений в ряде растворителей приближается к единице [6]. Многие кумарины проявляют антикоагуляционную активность [7], что используется для терапии тромбозов.

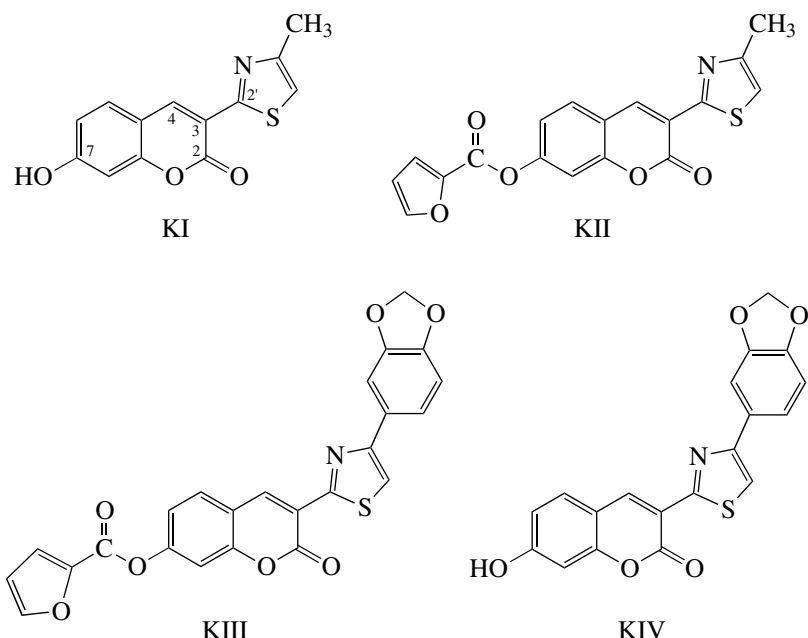
Изучение влияния заместителей на спектрально-люминесцентные свойства и совокупность фотофизических процессов является одной из ключевых задач в исследовании этого класса соединений. Имеется достаточно большое количество работ, в которых исследуются аминозамещенные

кумарины, однако гидроксизамещенные кумарины еще мало исследованы [8–12].

В данной работе проведено экспериментальное и квантово-химическое исследование соединений замещенных 7-гидроксикумарина, имеющих разные заместители в 3-м и 7-м положениях, исследована их генерационная способность при возбуждении эксимерным XeCl-лазером.

ОБЪЕКТЫ ИССЛЕДОВАНИЯ И МЕТОДИКА  
ЭКСПЕРИМЕНТА

В данной работе исследованы следующие соединения, производные 7-гидроксикумарина: 7-гидрокси-3-(4-метилтиазолил)-кумарин (далее КІ), 3-(4-метилтиазолил)-2-оксокумарин-фуран-2-карбоксилат (далее КІІ), 3-(4-(бензо[1,3]диоксолил)-тиазолил)-2-оксокумарин-фуран-2-карбоксилат (далее КІІІ) и 3-(4-(бензо[1,3]диоксолил)-тиазолил)-2-гидроксокумарин (далее КІІІ), а также их протолитические формы. Структурные формулы кумаринов приведены ниже



Соединение КII отличается от КI наличием фуранкарбоксильной группы в 7-м положении, а КIII имеет объемный бензодиазолилтиазолильный заместитель в 3-м положении. Действие этих заместителей на спектрально-люминесцентные свойства весьма значительно. Соединения исследованы в гексане, толуоле, диметилсульфоксиде (ДМСО) и этаноле при концентрации  $10^{-5}$  моль/л. Протолитические формы были получены в ДМСО и этаноле при добавлении в растворы соляной кислоты либо щелочи NaOH.

Спектры поглощения и флуоресценции регистрировались на спектрофлуориметре СМ2203 (Белоруссия). Квантовый выход флуоресценции ( $\phi$ ) определен методом сравнения со стандартом [13], в качестве которого использовался кумарин 102 в этаноле с  $\phi = 0.95$  [6].

Генерационные характеристики исследованы при возбуждении XeCl-лазером ( $\lambda = 308$  нм,  $\tau = 15$  нс,  $E = 20\text{--}25$  мДж/имп) в перпендикулярной схеме возбуждения. Резонатор состоял из одного алюминиевого зеркала и грани кюветы. База резонатора составляла 3 см. Излучение накачки с помощью линз фокусировалось на грань кюветы в полосу с размерами  $0.1 \times 1$  см<sup>2</sup>. Исследования выполнены в ДМСО при концентрации  $C = 2 \times 10^{-3}$  моль/л, поскольку в других растворителях растворимость соединений недостаточна для изучения генерационных свойств.

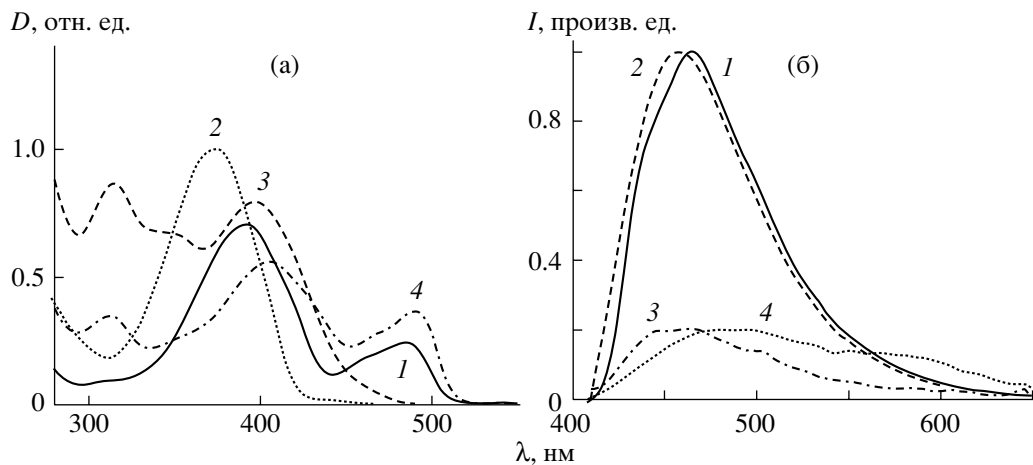
В квантово-химическом исследовании оптимизация геометрии проводилась методами молекулярной механики MM+ и полуэмпирическим методом AM1. Спектры поглощения и люминесценции рассчитывались методом INDO со спектроскопической параметризацией [14].

## РЕЗУЛЬТАТЫ И ИХ ОБСУЖДЕНИЕ

## *Спектрально-люминесцентные свойства*

Структура молекул KI и KIV такова, что они могут обладать слабокислыми свойствами за счет диссоциации гидроксильной группы. Действительно, в полярном растворителе ДМСО в спектрах поглощения наряду с полосой, принадлежащей недиссоциированной структуре молекул в областях ~400 нм (KIV) и ~390 нм (KI), присутствует более длинноволновая полоса в областях ~490 нм (KIV) и ~486 нм (KI). Спектры поглощения исследованных соединений в ДМСО представлены на рис. 1а. В этанольных растворах картина аналогичная с той разницей, что степень диссоциации гидроксилсодержащих соединений несколько ниже. Интенсивность этой полосы при подщелачивании раствора резко возрастает при одновременном исчезновении полос в области 390–400 нм. Этот факт подтверждает анионную природу полосы в области ~490 нм. В неполярном гексане и малополярном толуоле эта полоса отсутствует, так же как и в слабоподкисленных растворах ДМСО и этанола.

В растворах ДМСО и этанола, содержащих большую долю соляной кислоты (до 40–60 об %), все соединения находятся в форме катиона (K), поглощение которого расположено между полосами поглощения нейтральной формы (НФ) и аниона (A). В структуре молекул имеется несколько протоноакцепторных центров, по которым возможно протонирование, и наиболее вероятными, пожалуй, являются карбонильный кислород (в соединениях КІІІ и КІV имеется два таких центра) и азот тиазольного цикла. Поскольку характер проявления катионных форм для всех соединений схож (положение максимума



**Рис. 1.** Спектры поглощения (а) и флуоресценции (б) кумаринов в ДМСО. Интенсивности излучения КIII и KIV увеличена в 10 раз.

полосы поглощения относительно полосы НФ, содержание кислоты в растворе, при котором наблюдается полное протонирование), возможно, что во всех молекулах протонируется один и тот же центр. Спектральные свойства протолитических форм исследуемых соединений представлены в табл. 1.

На флуоресцентные свойства исследуемых кумаринов оказывают значительное влияние природа как заместителей, так и растворителя. Так, KIII и KIV, имеющие объемные заместители в 3-м положении, в полярных растворителях ДМСО и этаноле практически не излучают, в то время как в менее полярном толуоле наблюдается достаточно интенсивная флуоресценция с квантовым выходом, равным 0.34 и 0.42 соответственно. Спектры флуоресценции соединений KI-KIV в ДМСО при возбуждении в полосу поглощения НФ представлены на рис. 1б. Соединение KIV в полярных растворителях интенсивно флуоресцирует при возбуждении в полосу аниона (соединение частично диссоциировано), а также при подщелачивании растворов, т.е. при переводе всех молекул в форму аниона.

Молекулы KI и KII в форме катиона обладают интенсивной флуоресценцией, тогда как катионы KIII и KIV практически не излучают.

Таким образом, экспериментальное исследование показало, что излучательные свойства соединений слабо зависят от замены гидроксигруппы на фуранкарбоксильную, но сильно зависят от природы заместителя в 3-м положении, а для KIII и KIV – и от полярности растворителя. В полярных растворителях в отличие от неполярных квантовый выход флуоресценции этих соединений падает в ~40 раз. Этот факт говорит о том, что в полярных и неполярных растворителях путем дезактивации электронно-возбужденного со-

стояния  $S_1$  резко отличаются. Возможно, это связано с тем, что в возбужденном состоянии в полярных растворителях у молекул происходит выход из плоскости заместителя в 3-м положении. Для выяснения причин столь разных излучательных свойств соединений проведено квантово-химическое исследование, результаты которого приведены ниже.

#### Квантово-химические исследования

Для всех структур выбранные методы оптимизации геометрии молекул показали, что заместитель в 3-м положении расположен в плоскости кумаринового остова, а фуранкарбоксильный остаток выходит из плоскости кумарина на угол  $35^\circ$ . Для определения геометрии флуоресцентного состояния использовалась следующая формула:

$$\Delta R_{AB}^* = -k \Delta P_{AB}^*, \quad (1)$$

где  $\Delta P_{AB}^*$  – изменение заселенности связи (по Малликену) при переходе из основного в возбужденное состояние, а  $k$  – коэффициент, который зависит от выбранного метода расчета заселенности связи. В данном случае значение коэффициента равно 0.46 [15].

Для таких структур определены энергии электронно-возбужденных состояний, силы осцилляторов переходов, оценены константы фотопроцессов по методике, описанной в [16], построены схемы энергетических уровней для геометрии молекул в основном и возбужденном состояниях (рис. 2а).

Рассчитанные электронные переходы поглощения с вышеупомянутой геометрией молекул (условно назовем ее плоской) удовлетворительно описывают экспериментальный спектр поглощения. При этом разница в положении длинновол-

**Таблица 1.** Спектрально-люминесцентные свойства исследованных соединений

Соединение	ПФ	Растворитель	$\lambda_{\text{погл}}$ , нм	$\epsilon$ , см <sup>-1</sup> мол <sup>-1</sup> л	$\lambda_{\text{фл}}$ , нм	$\varphi$	$\Delta\nu_{\text{ст}}$ , см <sup>-1</sup>
KI	НФ	Гексан	380	—	444	0.86	3800
		Толуол	386	—	454	0.96	3870
		Этанол	386	24000	456	1.1	3870
		ДМСО	392	25900	466	0.93	4040
	A	Этанол	446	29000	488	0.6	1900
		ДМСО	464	36400	498	0.80	1470
	K	Этанол	410	28600	480	—	3570
		ДМСО	413	26800	490	—	3790
	HФ	Гексан	368	—	432	0.78	4050
		Толуол	376	—	440	1.08	3900
		Этанол	368	27800	444	1.16	4700
		ДМСО	376	24800	454	0.54	4600
KII	K	Этанол	385	31800	480	c	5170
		ДМСО	388	34800	480	c	4980
	HФ	Толуол	400	—	492	0.34	4700
		Этанол	394	19200	488	0.01	4900
		ДМСО	390	17200	458	0.01	3940
KIV	K	ДМСО	409	20000	—	не фл.	—
		Толуол	400	—	474	0.42	3900
		Этанол	400	29000	470	0.014	4510
	A	ДМСО	402	24600	—	—	—
		Этанол	452	31000	490	0.49	1700
	K	ДМСО	474	44700	504	0.30	1300
		Этанол	425	36000	—	не фл.	—
		ДМСО	429	33800	—	не фл.	—

Примечание. ПФ – протолитическая форма,  $\epsilon$  – молярный коэффициент поглощения,  $\varphi$  – квантовый выход флуоресценции,  $\Delta\nu_{\text{ст}}$  – стоксов сдвиг, c – сильная, не фл. – не флуоресцирует.

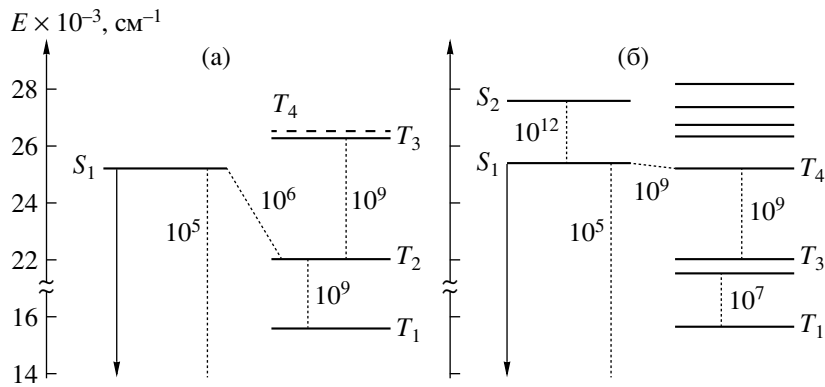
новой полосы не превышает 1500 см<sup>-1</sup> (табл. 2). Несколько хуже определена геометрия возбужденного состояния. Разница в положении полос флуоресценции не более 3000 см<sup>-1</sup>.

Как видно из рис. 2а, в плоской геометрии основным каналом распада возбужденного состояния  $S_1$  всех молекул является радиационный, скорость которого  $k_r \sim 10^8$  с<sup>-1</sup>. Скорость внутримолекулярной ( $k_{ic}$ ) и синглет-триплетной ( $k_{st}$ ) конверсии на несколько порядков ниже. Квантовый выход флуоресценции, оцененный по формуле

$$\varphi = k_r / (k_{ic} + k_{st} + k_r), \quad (2)$$

составляет 0.99. И действительно, экспериментальное значение квантового выхода флуоресценции в аprotонных неполярных и слабополярных растворителях достаточно высоко – 0.42–1. Однако в полярных аprotонных и протонодонорных растворителях квантовый выход KIII и KIV очень низкий,  $\varphi \sim 0.01$ –0.02. Для объяснения

этого факта проанализируем электронные плотности на связях и на фрагментах кумарин–заместитель в основном и возбужденном состояниях. Во всех молекулах при переходе из основного в возбужденное состояние наибольшее изменение заселенности испытывают связи C3–C2, C3–C4 и C3–C2'. Таким образом, можно предположить, что наибольшие деформации испытывают именно эти связи. На рис. 3 представлено распределение зарядов по фрагментам для KI, KII и KIV. Здесь каждая молекула разбита на два фрагмента таким образом, чтобы было видно влияние конкретного заместителя на распределение заряда. Так, в молекуле KI (рис. 3а) в основном состоянии 5-метилтиазолильный и кумариновый фрагменты электрически нейтральны. Однако при переходе в состояние  $S_1$  отрицательный заряд на кумарине увеличивается, т.е. 5-метилтиазолильный заместитель в состоянии  $S_1$  становится электронодонорным. Гораздо меньшее влия-



**Рис. 2.** Схемы электронно-возбужденных состояний молекул (геометрия возбужденного состояния): а – КI, КII, КIII, КIV в плоской геометрии, б – КIII, КIV – плоскость заместителя в 3-м положении перпендикулярна плоскости кумарина. Сплошные линии – состояния  $\pi\pi$ -природы, штриховая –  $\pi\pi$ -природы. Вертикальные сплошные линии – излучательные переходы, вертикальные пунктирные линии – безизлучательные переходы. Числа на схеме – скорости безизлучательных переходов ( $\text{в } \text{с}^{-1}$ ), скорость радиационных переходов  $k_r = 10^8 \text{ с}^{-1}$  не зависит от геометрии возбужденного состояния.

ние оказывает заместитель в 7-м положении (рис. 3б). Фуранкарбоксильная группа в основном состоянии обладает незначительными электроноакцепторными свойствами, на фрагменте локализован небольшой отрицательный заряд. В состоянии  $S_1$  происходит небольшой отток электронной плотности на кумариновую часть, при этом фуранкарбоксильная группа остается отрицательно заряженной. Влияние этой группы на спектрально-люминесцентные свойства незначительно. Поэтому спектры поглощения и флуоресценции КI похожи на спектры КII с той лишь разницей, что КII не способен образовывать анионную форму. Введение бензодиоксольной группы (рис. 3в) в большей степени влияет на свойства КIII по сравнению с КI. Так, если у КI отрицательный заряд на кумариновом фрагменте в состоянии  $S_1$  увеличивался на 0.264 единиц заряда, то у КII увеличение достигало 0.512. Это

может послужить причиной выхода из плоскости заместителя в 3-м положении, поскольку заряженные фрагменты будут эффективно сольватироваться полярными растворителями. Скорее всего именно такая картина наблюдается для КIII и КIV в полярных растворителях. В результате выхода из плоскости заместителя в 3-м положении может измениться природа состояния  $S_1$ .

На рис. 2б приведена схема электронно-возбужденных состояний молекул КIII и КIV для случая неплоской геометрии (фрагмент в 3-м положении выходит из плоскости остива кумарина на 90°). Следует сказать, что состояние  $S_1$  при такой геометрии локализовано на тиазол-бензодиоксольном фрагменте, в то время как в плоской геометрии оно локализовано на кумариновом фрагменте. Из схемы (рис. 2б) видно, что в этом случае появляется канал ухода молекулы в триплетное состояние, константа скорости интерконверсии

**Таблица 2.** Данные квантово-химического расчета исследуемых соединений

Соединение	Состояние (природа)	Энергия, $\text{см}^{-1}$		$f$	$\mu, \text{Д}$
		расчет	эксперимент		
КI	$S_0$				3.19
	$S_1(\pi\pi)$	28200	26300	0.880	2.30
КII	$S_0$				6.82
	$S_1(\pi\pi)$	28600	27200	0.98	9.36
КIII	$S_0$				5.37
	$S_1(\pi\pi)$	28700	25000	1.07	5.70
КIV	$S_0$				3.11
	$S_1(\pi\pi)$	28200	25000	0.958	5.05

Примечание. Экспериментальные значения максимума полосы поглощения приведены для гексановых растворов (КI и КII) и толуольных (КIII и КIV),  $f$  – сила осциллятора,  $\mu$  – дипольный момент.

Состояние	Фрагмент		Состояние	Фрагмент		Состояние	Фрагмент	
	I	II		I	II		I	II
$S_0$	0	0	$S_0$	-0.121	+0.121	$S_0$	-0.117	+0.117
$S_1$	-0.264	+0.264	$S_1$	-0.118	+0.118	$S_1$	-0.629	+0.629

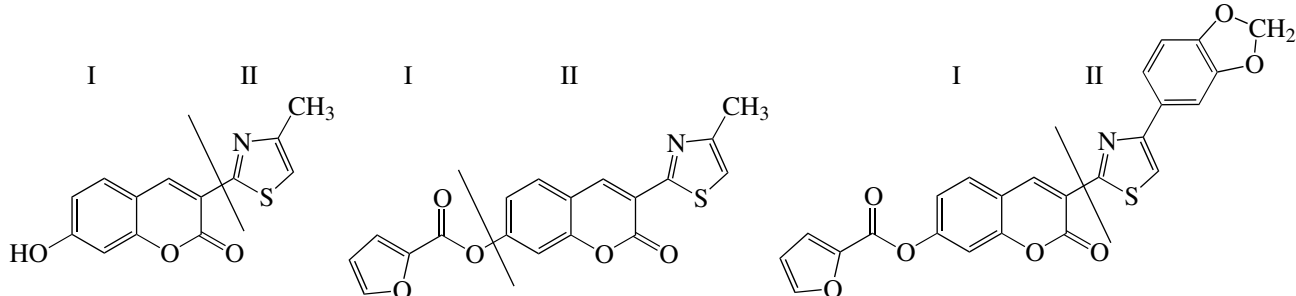


Рис. 3. Распределение зарядов по фрагментам.

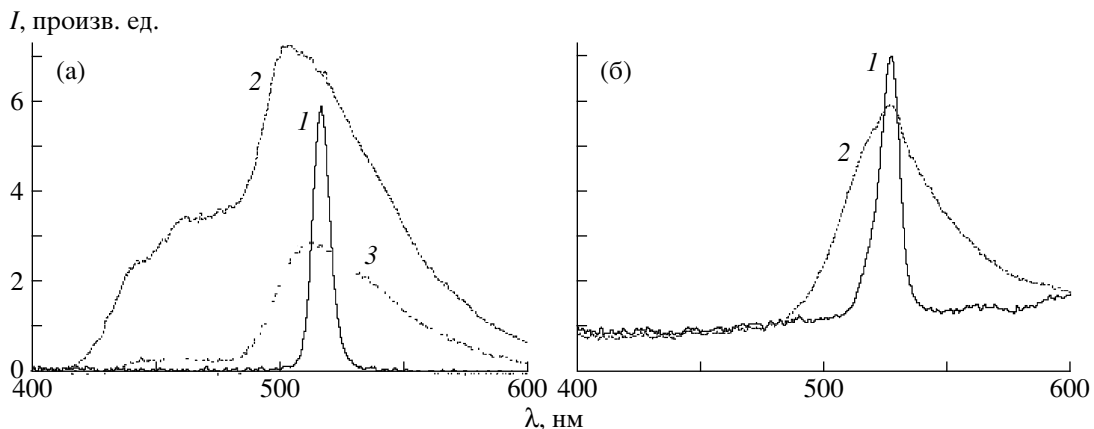


Рис. 4. Спектры генерации (1) и ЛИФ (2, 3) KI в ДМСО (а) и в ДМСО с добавлением щелочи (б) при фронтальной схеме регистрации (2) и перпендикулярной (3).

( $k_{st} \sim 10^9 \text{ с}^{-1}$ ) на порядок выше константы скорости радиационного распада ( $k_{st} \sim 10^9 \text{ с}^{-1}$ ) состояния  $S_1$ . Хотя состояния, между которыми происходит интерсистемная конверсия, одной орбитальной природы  $\pi\pi^*$ , но они локализованы на разных, перпендикулярно расположенных фрагментах. Между такими состояниями синглет-триплетное взаимодействие достаточно сильное [16]. Квантовый выход флуоресценции, оцененный по формуле (2), становится мал, порядка 0.01, что хорошо согласуется с экспериментом.

#### Генерационные исследования

Хорошо известно, что аминокумарины являются эффективными лазерными средами на синевозеленый диапазон спектра. Генерационная способность гидроксизамещенных кумарина исследу-

дована в гораздо меньшей степени [11]. В настоящей работе генерационная способность KI и KII, имеющих высокие значения квантового выхода флуоресценции, исследована при возбуждении эксимерным XeCl-лазером. Исследования выполнены в ДМСО, поскольку только в нем достигается нужная для развития генерации концентрация соединений. Результаты показали, что вопреки ожиданиям KII не проявляет генерационной способности, а KI в ДМСО имеет очень слабую генерацию (КПД = 0.5%), причем длина волны генерации лежит в области, далекой от максимума излучения НФ. Длина волны излучения НФ KI 466 нм (табл. 1), а генерация наблюдалась в области 517 нм. На рис. 4а представлены спектры генерации (кривая 1) и лазерно-индукцируемой флуоресценции (ЛИФ) (кривые 2 и 3) кумарина KI в ДМСО при концентрации  $2 \times 10^{-3}$  моль/л. Спек-

тры ЛИФ зарегистрированы с фронтальной (кривая 2) и перпендикулярной (кривая 3) к возбуждению стороне кюветы. В первом случае минимальны искажения спектра излучения вследствие реабсорбции, тогда как во втором, напротив, максимальны. Действительно, кривая 2 имеет явно сложный характер и принадлежит одновременно излучению НФ и А молекулы. При перпендикулярной схеме регистрации излучение НФ не фиксируется вследствие поглощения его формой аниона (спектры флуоресценции НФ и поглощения А перекрываются). При подщелачивании раствора добавлением NaOH все молекулы КI переходят в форму аниона, в спектре ЛИФ (рис. 4б, кривая 2) отсутствует излучение НФ даже при фронтальной схеме регистрации. Максимумы излучения А и генерации совпадают. Эффективность генерации в этом случае возрастает до 10%.

Раствор, в котором соединение находилось в НФ (подкисленные растворы), не проявил лазерной активности, что наблюдалось и для КII, который не имеет диссоциированной формы. Добавление малых порций кислоты и смещение анион-нейтрального равновесия в сторону НФ сначала сопровождалось падением интенсивности генерации до полного исчезновения, однако при содержании HCl в растворе до ~40 об % вновь появилась слабая генерация в области 490 нм в полосе излучения катиона.

Молекула КIV, переведенная в форму аниона также проявляет лазерную активность в МСО, эффективность генерации составляет ~10%.

Для выяснения причин отсутствия генерации НФ исследуемых кумаринов проведен анализ квантово-химического расчета наведенного поглощения. Были вычислены силы осцилляторов и энергии для переходов  $S_1 \rightarrow S_n$  и  $T_1 \rightarrow T_n$ . Из расчета было установлено, что у КI и КII имеются очень интенсивные полосы  $T_1 \rightarrow T_{19}$  ( $f = 0.630$ ,  $\lambda = 402$  нм) в области, попадающей в полосу флуоресценции. Очевидно, что образование даже малого числа триплетных молекул при мощном лазерном возбуждении приведет к значительному снижению или даже полному исчезновению генерации.

## ВЫВОДЫ

Все исследуемые кумарины обладают достаточно сильной флуоресценцией, в аprotонных растворителях.

Фуранкарбоксильная группа в 7-м положении незначительно меняет спектрально-люминесцентные свойства кумарина, но делает невозможным образование анионной формы.

Появление объемного заместителя у КIII и КIV при определенных условиях (в сильно полярных растворителях) в возбужденном состоянии

может привести к выходу из плоскости заместителя в 3-м положении, в результате чего изменяется локализация состояния  $S_1$ , а основным каналом дезактивации энергии возбуждения становится  $S-T$ -конверсия, что приводит к резкому падению квантового выхода флуоресценции.

Генерационную активность проявляют гидроксисоединения, будучи переведенными в форму аниона. Генерация НФ слабая (КI) либо отсутствует (КII) из-за интенсивного поглощения  $T_1-T_n$  в полосе флуоресценции этих соединений. Соединения КIII и КIV не способны генерировать лазерное излучение ввиду чрезвычайно слабой флуоресценции этих соединений в полярных растворителях.

## СПИСОК ЛИТЕРАТУРЫ

1. Fletcher A.N., Bliss D.E. // Appl. Phys. 1978. V. 16. P. 289–295.
2. Fletcher A.N. // Appl. Phys. 1977. V. 14. P. 295–302.
3. Fletcher A.N., Pietrak M.E., Bliss D.E. // Appl. Phys. B. 1987. V. 42. P. 79–83.
4. Копылова Т.Н., Самсонова Л.Г., Дегтяренко К.М., Денисов Л.К., Кирпиченок М.А. // ЖПС. 1990. Т. 50. № 6. С. 1009–1012.
5. Васильева Н.Ю., Дегтяренко К.М., Кузнецова Р.Т., Лобода Л.И., Самсонова Л.Г., Соколова И.В., Фофанова Р.М. // Кvant. elektron. 1991. Т. 18. № 2. С. 198–200.
6. Jones II G., Jackson W.R., Chol-you-Choi // J. Phys. Chem. 1985. V. 89. № 19. P. 294–300.
7. Elnagdi Mohamed H., Abdallah Sanaa O., Ghoneim Kh-adiga M., Ebied Elzeni M., Kassab Kawser N. // J. Chem. Res. (S). 1997. P. 44–45.
8. Соколова И.В., Лобода Л.И. // ЖСХ. 1982. Т. 23. № 6. С. 35–41.
9. Machado A.E.H., Miranda J.A. // J. Photochem. Photobiol. A. 2001. V. 141. P. 109–116.
10. Azim S.A., Al-Hazmy S.M., Ebeid E.M., El-Daly S.A. // Opt. Las. Technol. 2005. V. 37. P. 245–249.
11. Копылова Т.Н., Самсонова Л.Г., Гадиров Р.М., Шаблыкина О.В., Хиля В.П., Ищенко В.В. // Опт. и спектр. 2005. Т. 99. № 5. С. 772–778.
12. Дзюбенко М.И., Маслов В.В., Науменко И.Т. и др. // Опт. и спектр. 1978. Т. 45. № 4. С. 814–816.
13. Паркер С. Фотолюминесценция растворов. М: Мир, 1972. 510 с.
14. Майер Г.В., Артюхов В.Я., Базыль О.К., Копылова Т.Н., Кузнецова Р.Т., Риб Н.Р., Соколова И.В. Электронно-возбужденные состояния и фотохимия органических соединений. Новосибирск: Наука, 1997. 232 с.
15. Герцберг Г. Электронные спектры и строение многоатомных молекул. М.: Мир, 1969. 772 с.
16. Майер Г.В. Фотофизические процессы и генерационная способность ароматических молекул. Томск: Изд-во Томского ун-та, 1992. 265 с.